

挿穗의 Leaf Water Potential의 變化^{*1}

洪 盛 千^{*2}

Diurnal Changes of Leaf Water Potential in Cuttings^{*1}

Sung Cheon Hong^{*2}

The diurnal pattern of leaf water potential in cuttings by Dye Method was as follows:

1. Diurnal pattern of leaf water potential (ψ_l) in *Viburnum Awabuki K. Koch* and *Daphne odora Thunb.* was shown the pattern of the curves without mutual relation with soil classes when soil water potential (ψ_s) was 0 bar.

When ψ_s was above -0.01 bar, the cuttings in the loamy sand (L.S.) was shown by the maximum values than that in sandy clay (S.C.) by about -1 bar gap (Fig. 1).

2. The diurnal changes of ψ_l was shown the most high from two to eight O'clock in the morning, the maximum value was -3 bars when ψ_s was above -0.01 to -0.02 bar, and was -4 bars below -0.03 bar. The diurnal the lowest values of ψ_l showed -20 to -22 bars from one to two O'clock in the afternoon. In the fifteenth day after cutting V.A., the staying time in the diurnal maximum values of ψ_l is about half in comparison with it in the fifth day. The curves of recovery of water stress (Fig. 1), the former reached to the diurnal maximum values -1 to -2 bars lately every hours comparing with it of the latter. The general diurnal pattern of ψ_l was most clearly related to change with air temperature and the relative humidity.

3. Comparing the treatment block by IAA 50 ppm with controlled block in fifteenth day after V.A. cuttings, in case of treatment reached to maximum values -2 to -3 bars lately as shown Fig. 2., and also staying times was only half in comparison with controlled block.

4. The cuttings 4 leafs was much rootings than 2 leafs in V.A. (Table. 1), and the former reached maximum value -2 to -3 bars lately every hours comparing with the latter.

5. In case of *Buxus microphylla var. Koreana* as shown Fig. 3., comparing the pattern curves of in the cuttings 8 leafs with 4 leafs, the former reached to maximum values -2 to -3 bars lately in comparison with the latter, but reffering to the amount of rooting (Table. 2), the former is less than the latter.

土壤의 Water potential(ψ_s)을 몇 단계 다르게 設定한 境遇 挿穗의 Leaf water potential(ψ_l)은 一日中 어떻게 變化하며, 插木後 時間의 經過와 樹種間, 插穗의 形態의 要因別, Hormone 處理의 境遇 插穗의 ψ_l 變化 pattern은 어떻게 變化하고 있는가를 밝혀 插床의 水分管理 指針의 基礎的 資料를 만들기 위하여 本實驗을 하였다. 그結果를 要約하면 다음과 같다.

1. Leaf water potential(ψ_l)의 變化에 있어 아왜나무, 서향나무의 插穗의 境遇 ψ_s 가 0 bar일때는 土性에 關係없는 變化 pattern을 나타내었다. ψ_s 가 -0.01bar 以上일때는 L.S.가 S.C.보다 -1bar 程度의 間隔으로서 最高值에 到達하였다.

2. 一日中の ψ_l 의 變化는 插木後 時間의 經過와 ψ_s 別로 差異가 있으나, 最高值는 0.2~0.6時에 나

*1 Received for publication on May 19, 1978

*2 慶北大學校 農科大學 College of Agriculture, Kyungpook University. Taegu.

타났으며, 아왜나무와 서향나무의 境遇 ψ_s 가 $-0.01 \sim -0.02$ bar以上일때는 -3 bars, -0.03 bar以下 일때는 -4 bars를 나타내었으며, 最小值는 $-20 \sim -22$ bars 程度였다. 15日째에 있어서는 5日째보다 最高值에 더 두르는 時間이 1/2程度에 지나지 않았고, ψ_t 의 增加의 境遇 時間當 $-1 \sim -2$ bars程度 늦게 最高值에 到達하였고, 一日中의 ψ_t 의 變化 pattern은 溫度와 相對濕度의 變化에 따라 敏感하게 變化하고 있다.

3. 아왜나무 插穗의 境遇 IAA 50ppm 處理區는 無處理區에 比較하여 插木後 15日째에 있어 $-2 \sim -3$ bars 늦게 最高值에 到達하였으며, 最高值에 더 두르는 時間도 1/2degree에 지나지 않았다.

4. 아왜나무는 本實驗 條件內에서 4葉을 가진 插穗가 2葉을 가진 插穗보다 時間當 $-2 \sim -3$ bars 늦게 最高值에 到達하며 그 發根量도 많았다. (Table. 1)

5. 회양목 插穗의 ψ_t 의 變化 pattern은 8葉이 4葉보다 時間當 $-2 \sim -3$ bars 늦게 最高值에 到達하나 發根量이 적은 것을 考慮하면 (Table. 2) 發根의 生理的抵抗外에 相對濕度의 不足으로 因한 插穗內의水分不足에 의한 細胞의 活力 衰退에 基因한 抵抗의 增大로 因한 變化 pattern임을豫測할 수 있다.

緒 論

插木發根에 있어 插木의 水分狀態, 插穗自體의 水分狀態, 大氣의 濕度는 活着率에 큰 영향을 주는 것으로 알려져 있다. 最近 植物의 물吸水, 移動, 排出에 있어 水分 potential이라고 하는 概念에 의해 土壤, 植物, 大氣를 連結한 一連의 體系的研究가 活發하며 많은 成果를 올리고 있다.^{1,3,8)} 本實驗에서는 water potential (ψ_t) 概念을^{15,16)} 導入 土壤의 water potential (ψ_s)을 몇段階 다르게 設定한 境遇 插穗의 ψ_t 은 一日中 어떻게 變化하며, 插木後 時間의 經過에 따라 어떻게 變化하고 있는가? 樹種間, 插穗의 形態의 要因別, Hormone處理의 境遇 插穗의 ψ_t 變化 pattern은 어떠한지를 밝혀 插床의水分管理指針의 資料를 提供하는데 있다.

材料 및 方法

1. 土壤의 ψ_s 即 각각 다른 土壤含水率을 設定하기 위하여 自動灌水裝置를 利用하였다.^{4,6)} 土壤含水率은 이 裝置의 貯水槽의 水面에서 插穗의 切斷面까지의 距離를 作成함으로써 三段階로 設定하였다. ψ_s 는 Matric potential와 渗透 potential을 合한 것이다, 渗透 potential은 그 값이 적어 無視할 수 있으므로⁸⁾, $F = \log(-\psi_s \times 1,013)$ 의 關係에서 求하여진다. F 와 土壤含水率의 關係는 遠心法과 土柱法으로 求하였다. 材料는 아왜나무 (*Viburnum Awabuki*), 서향나무 (*Daphne odora*), 회양목 (*Buxus microphylla* var. *Koreana*)의 一年枝를 插穗로 使用하였으며, 1976年 7月 1日 採穗하여 24時間 沈積後 7月 2日 1/5,000와그나 pot에 插木하였다. 溫度·濕度는 自記記錄計로, ψ_t 의 测定은 Dye Method를⁵⁾ 使用하였으며, 染色試藥은 Methyl Drange를 使用하였다.

며, 溶液으로써 特級 Saccharose를 使用하였다. pot는 簡易溫室에 두어 雨水의 영향을 피하였다.

結果 및 考察

土壤의 ψ_s 가 0bar에서 $-0.01 \sim -0.02$, $-0.03 \sim -0.04$ bar인 境遇, 砂質植土 (Sandy Clay: S.C.)의 含水率은 55%, 51%, 43% 內外의 變化를 보였고, 壤質砂土 (Loamy Sand: L.S.)는 30%, 19%, 5% 內外의 變化를 보였다. Fig. 1은 아왜나무와 서향나무의 插木後 5日째(左圖), 15日째(右圖)에 있어 土性別 및 各段階의 ψ_s 別 插木의 Leaf Water Potential (ψ_t)의 變化 pattern과 溫濕度의 日變化를 나타낸 것이다. Fig. 1에 있어 ψ_s 가 0bar일때는 5日째, 15日째 모두 ψ_t 의 變化 pattern에 差가 보이지 않았으므로 S.C.만의 變化를 나타내었다. 화살표시(↑)는 ψ_t 값의 測定值幅을 意味하며 ψ_t 의增加와 減少의 境遇 約 4bar의 幅을 가지고 있으며, 最高值에 가까운 값은 2bar 程度의 變化幅을 가지고 있음을 나타내고 있다. 이것은 ψ_t 가 增加하고, 減少할 때는 個體間에 ψ_t 값이 큰 差異가 있음을 意味한다. 日射量의 增加에 따라 氣溫이 上昇하고 相對濕度가 低下함에 따라 大氣飽差(SVPD)은 減少하여 감을 알 수 있다. Fig. 1의 左圖에 있어 ψ_s 가 0bar와 $-0.01 \sim -0.02$ bar일때 S.C.와 L.S.의 ψ_t 의 日中最少值는 13~14時頃 20.5bars, 22bars, 最大值는 02時頃에서 06時 사이로 -3 bars를 나타내고 있지만, ψ_s 가 $-0.01 \sim -0.02$ bar 程度일때는 ψ_s 가 같아도 L.S.의 境遇 S.C.에 比較하여 -1 bar 程度 늦은 값으로 變化 pattern을 나타내고 있다. ψ_s 가 $-0.01 \sim -0.02$ bar와 $-0.03 \sim -0.04$ bar일때를 比較하여 보면 ψ_s 가 $-0.03 \sim -0.04$ bar일때 日中最少 ψ_t 의 値은 $-0.01 \sim -0.02$ bar에 比較하여 $-1 \sim -2$ bars 程度 늦았으며 最高值도 $-1 \sim -2$ bars 程度 늦

고, ψ_1 의 增加 時間도 $-0.01 \sim -0.02$ bar에 比較하여 1~2時間程度 늦게 增加하고 있음을 나타내며, 約 2時間 늦게 最高值에 到達하고 있다. 最高值에 머무르는

時間도 前者에 比較 2時間程度 짧음을 나타내고 있다. S.C.와 L.S.를 比較하여 보면 ψ_1 가 $-0.01 \sim -0.02$ bar 보다 L.S.의 境遇 -2 bar程度 늦게 ψ_1 가 增加하고, 減

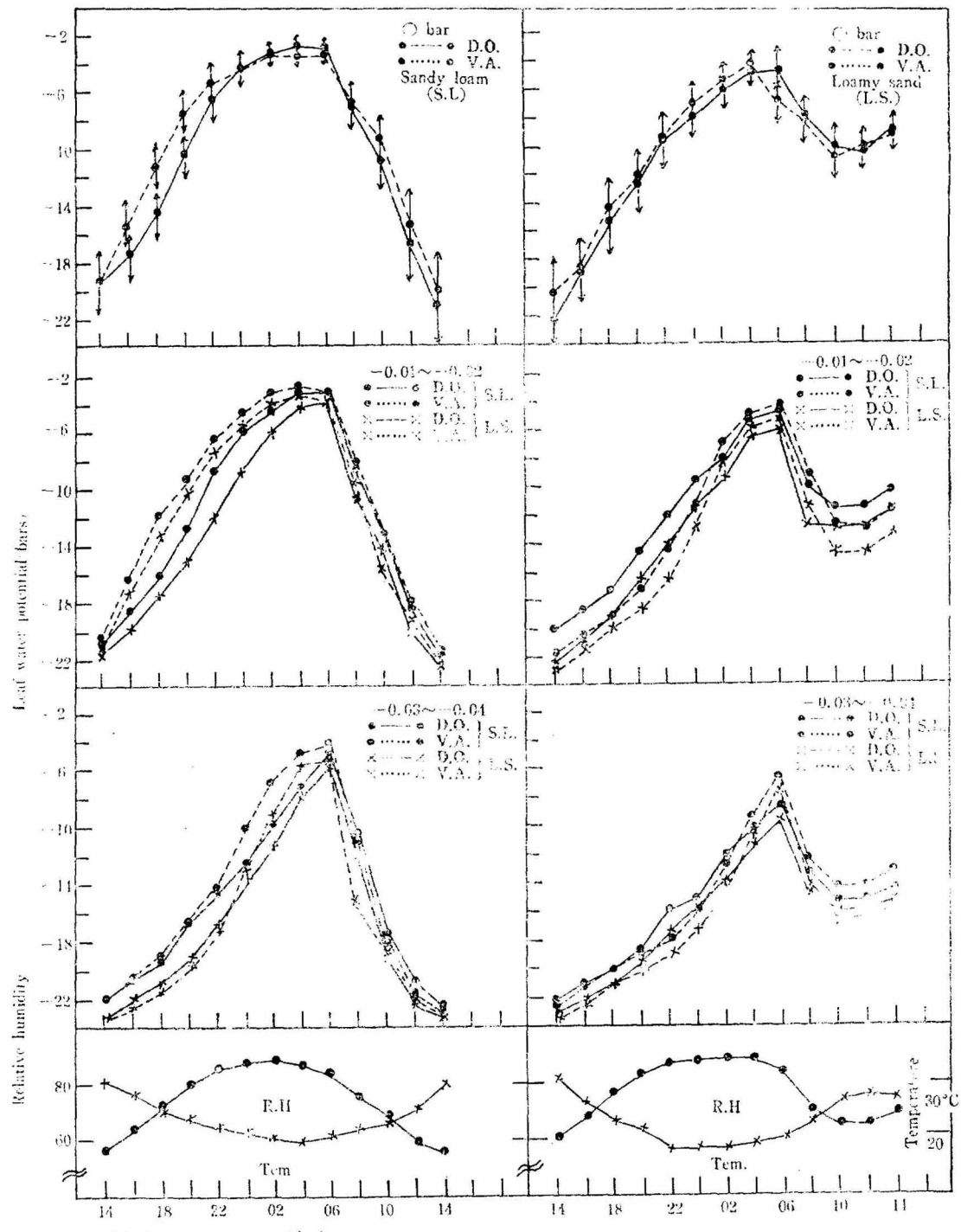


Fig. 1. The diurnal pattern of ψ_1 of Viburnum Awabuki (V.A.) and Daphne odora (D.o. cuttings in the fifth and fifteenth day from cutting with soil classes.

Table 1. Result rooting at different soil classes and different ψ_s

Kinds of cutting	Soil class	ψ_s (bar)	No. of samples	No. of rooted cutting	No. of rooted cutting	only callus formation	No. of total root	Total root length (mm)	Average root length per one cutting	Dried root weight per one cutting (g)
Viburnum Awabuki	S.L.	0	20	18	1	1	317	796	39.8±10.5	0.15
		-0.01~-0.02	20	20	0	0	405	849	42.5±16.4	0.17
		-0.03~-0.04	20	15	0	5	148	447	22.4±8.5	0.09
	L.S.	0	20	19	1	0	347	825	41.2±17.3	0.19
		-0.01~-0.02	20	20	0	0	477	976	48.8±20.7	0.25
		-0.03~-0.04	20	17	0	3	193	391	19.1±10.5	0.06
Daphne odora	S.L.	0	20	7	11	2	46	151	7.6±2.6	0.02
		-0.01~-0.02	20	17	1	2	135	397	19.9±4.1	0.08
		-0.03~-0.04	20	12	1	7	82	184	9.2±3.6	0.03
	L.S.	0	20	11	7	2	63	145	7.3±5.1	0.02
		-0.01~-0.02	20	15	2	3	138	416	20.8±10.9	0.06
		-0.03~-0.04	20	7	1	12	59	137	6.9±4.5	0.04

Table 2. Result of rooting of cutting with different leaf number under $\psi_s = -0.01\sim-0.02$ bar of sandy loam

Kinds of cutting	Leaf No.	No. of Samples	No. of rooted cutting	No. of rooted cutting	Only Callus forma-tion	No. of total root	Total root length (mm)	Average root length per one cutting (mm)	Dried root weight per one cutting (g)
Viburnum awabuki	2 leafs	20	20	0	0	405	849	42.5±16.4	0.17
	4 leafs	20	19	0	1	461	1022	51.1±14.9	0.25
Dapne odora	4 leafs	20	17	1	2	135	397	19.9±4.1	0.06
	8 leafs	20	6	1	13	37	116	5.8±3.6	0.02
Buxus microphylla Var.	4 leafs	20	14	5	1	66	188	9.4±4.5	0.03
	8 leafs	20	18	1	1	89	172	8.6±3.8	0.01

少의 境遇는 보다 빠른 減少의 傾向을 보이고 있다. 이 것은 捅穗의 吸水面附近의 ψ_s 가 同一하지 않음에 基因하고 있다고 생각되어지며, 即 1點의 測定值에서 代表되어지는 ψ_s 가 土壤內에서 물 移動이 일어나고 있는 境遇 土性에 의해 土壤의 不飽和透水係數는 變化의 樣相이 다르며 特히 모래의 境遇에는 透水係數는 ψ_s 가 下함에 따라 다른 土性과 比較하여 적은 값인 것으로 알려져 있으므로^{8, 9, 12)} 實際 吸水面의 ψ_s 는 더욱 낮은 값이기 때문이라고 생각되어진다. ψ_s 가 낮은 境遇와 높은 境遇 ψ_s 의 增加 및 減少, 最大值에 到達하는 時間의 間隔은 ψ_s 가 달리에 따라 土壤과 捅穗의 높은 抵抗때문에 吸水가 抑制되어지는 結果라고 생각되어진다.

Fig. 1.의 右圖는 捅木後 15日째의 ψ_s 의 變化 pattern을 나타내고 있다. 左圖와 比較해 보면 全體的 變化 pattern은 大氣飽差의 變化에 따라 增減하고 있지만, 最大 ψ_s 에 到達하기까지 ψ_s 의 增加는 ψ_s 別에 있어 1~2時間程度늦게 增加하고 있으며, 最大值에 머무르는 時

間도 5日째에 比較하여 1/2程度를 나타내고 있다. 最大 ψ_s 의 値은 ψ_s 가 0bar와 -0.01~-0.02bar일 때는 1bar程度, -0.03bar의 境遇는 2.5bars程度의 差를 나타내고 있다. 이 變化 pattern은 捅木後 發根의 生理的變化에 基因하여 생긴⁸⁾ 發根生理的抵抗의 增大結果라고 생각되어지며, 本實驗의 範圍內에서 ψ_s 가 0bar와 -0.01~-0.02bar일 境遇 ψ_s 의 變化 pattern에 큰 差가 없음을 보아 아래 나무 捅床의水分管理에는 ψ_s 가 0bar~-0.02bar까지는 큰 差異가 없이 發根의 生理的變化가 進行되고 있음을豫測할 수 있겠다. ψ_s 가 -0.03~-0.04bar일 境遇 ψ_s 의 變化 pattern은 前者보다 더욱 緩慢한 ψ_s 의 增加와 보다 빠른 減少의 pattern을 보이고 있으나, Table 1.의 發根數와 發根量을 보면 ψ_s 0bar内外보다 적은 것으로 미루어 볼 때 發根의 生理的抵抗外에 물不足으로 因한 細胞의 活力 衰退에 基因하는 물不足 現象에서 일어나는 抵抗때문이 아닌가 생각되어진다.

서향나무의 境遇 插木後 5日째 및 15日째의 ϕ_t 變化 pattern은 土性 및 ψ_t 의 區分도 아왜나무와 同一하게 設置하였다. ϕ_t 의 變化 pattern은 아왜나무插穗와 같이 大氣飽差에 對應한 變化를 보이고 있음은 同一하나 ψ_s 가 $-0.01\sim-0.02$ bar 일때 아왜나무와 比較하여 보면 ψ_s 가 增減할 때의 pattern이 아왜나무보다 緩慢하다. 이것은 서향나무의 境遇 本實驗의 條件下에서 插木後 5日째가 되어도 發根의 生理的變化가 거의 일어나지 않기 때문이 아닌가 생각되어진다. ψ_s 가 $-0.03\sim-0.04$ bar 일때의 變化 pattern은 Table 1.의 發根量과 比較하여 보면, 水分不足에 因한細胞活力의 衰退에 因한 것으로 생각되어진다. 右圖의 15日째를 보면 ψ_s 가 낮아짐(more negative)에 따라 ϕ_t 增減의 時間에 差가 있음을 보여 주고 있다. 最低值는 0bar 일때 19.5bars 程度이 나, $-0.01\sim-0.02$ bar以上 일때는 -22 bars에 到達하고 있다. ϕ_t 의 增加의 境遇 5日째보다 緩慢한 pattern을 나타내며 最高值에 머무르는 時間도 5日째에 比較하여 1/2程度이며, ϕ_t 의 減少의 境遇 ψ_s 別로 比較해 보면 ψ_s 가 0bar 일때는 緩慢하게 減少하여 감을 알 수 있다. 이것은 本實驗內의 條件에서 서향나무의 境遇 ψ_s 가 0bar 일때는 插床水分過多로 因한 酸素不足으로 發根組織分化가 거의 일어나지 않음을 Table 1.의 發根量과 ϕ_t 의 變化 pattern으로써豫測할 수 있다. 아왜나무와 比較하여 보면 서향나무는 ψ_s 의 變化에 보다 敏感한 것이 아닌가 생각되어진다. 插木後 15日째 ψ_s 가 $-0.03\sim-0.04$ bar 일때 서향나무와 아왜나무의 變化 pattern을 比較하여 보면 아왜나무는 最大值 -6.5 bars, 最低值 -23 bars를 나타내고 있으나, 서향나무는 最大值 -8.5 bars 最低值 $-22\sim-23$ bars를 나타내고 있으며, Table 1.의 發根量을 考慮해 보면 서향나무가 아왜나무에 比하여 보다 水分反應에 敏感함을豫測할 수 있다.

Fig. 2.는 아왜나무 插木後 5日째 및 15日째에 있어 ψ_s 가 $-0.01\sim-0.02$ bar 일때의 IAA(Indole Acetic Acid) 50ppm 處理와 無處理에 있어 ϕ_t 의 變化는 어떠한가를 實驗한 것이다. 5日째를 比較하여 보면 處理區는 最低值가 -20 bars \sim 21.5 bars인데 반하여 無處理區는 -19 bars 程度이다. 이것은 Hormone 處理의 境遇 初期 蒸散 \circ 抑制되어지는 것이라고 생각되어진다(未發表) ϕ_t 의 增加의 境遇 $-1\sim-2$ bars 程度 빠르게 增加하고 있다. 이것은 Hormone 處理를 한 境遇 初期 蒸散이 減少한 境遇와 比較하여 보면 無處理보다 빠른 速度로 最大值에 到達하여야 하나 $-1\sim-2$ bars의 낮은 值으로 最大值에 到達하는 것은 插木後 5日째 이미 Hormone 處理의 영향으로 發根生理作用이 旺盛한 結果 抵抗이 增大

된 것인 아닌가 생각한다. 15日째의 處理區와 無處理區를 比較해 보면 處理의 境遇 $-1\sim-3.5$ bars 程度 差로 最高值에 到達하며 最高值에 머무르는 時間도 짧을 뿐만 아니라 -1 bar의 差로서 最高值를 나타내고 있다. 이것은 處理區는 發根期間이 短縮된 實驗結果를 參考하면 이 時期에 處理區의 插穗의 ϕ_t 가 最高值에 到達하는 것으로 생각되며 處理區와 無處理區의 間隔은 生理의

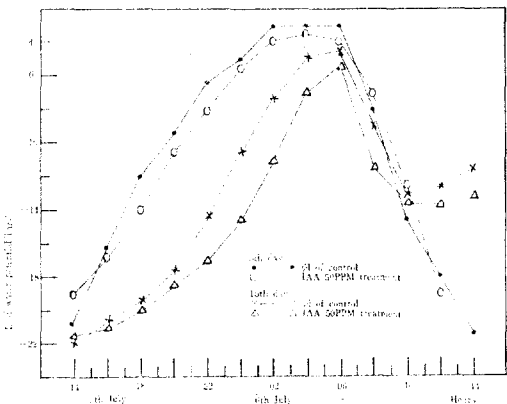


Fig. 2. The comparison of changing patterns of ϕ_t of Viburnum Awabuki between the control and 50ppm treatment of IAA under $\psi_s = -0.01\sim-0.02$ bar of sandy loam in fifth and fifteenth day from cutting.

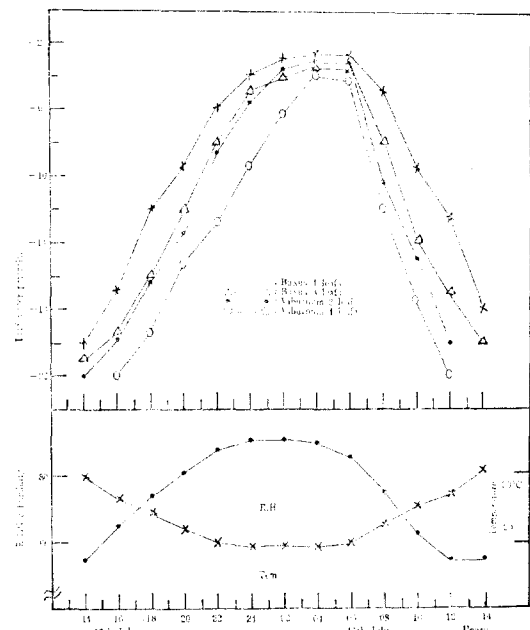


Fig. 3. The changes of ϕ_t of Buxus microphlla var. Koreana and Viburnum Awabuki with different leaf numbers under $\psi_s = -0.01\sim-0.02$ bar of sandy loam in tenth day from cutting.

抵抗의 增大에 因する 것으로 생각된다.

Fig. 3. 은 葉量이 ψ_l 의 變化에 미치는 영향이 어떠한가를 調査하였다. 捅木後 10日째 4葉과 8葉을 가진 회양목 捅穗의 ψ_l 의 變化를 보면 最高值의 ψ_l 값은 8葉의 境遇 4葉보다 $-1\sim-2$ bars 낮은 값을 나타내고 있으며, 增加의 境遇 $-2\sim-4$ bars의 差로서 最高值에 到達하며, 最高值도 -1 bar程度의 差를 維持하고 있다. 이것은 蒸散器管인 葉量이 많으므로 因하여 ψ_l 增大時期前에 보다 큰 水分 Stress를 받은結果가 아닌가 생각되며 減少의 때에는 8葉의 境遇 時間當 -3.5 bar程度 減少하고 있으나, 4葉의 境遇 -2 bar程度 減少하여 加고 있음은 蒸散器管인 葉量이 적기때문이라고 생각되어지며, 한편 Table 1.의 發根量을 보면 葉量에 따라 生理的抵抗에 差가 있는 것이 아닌가 생각되어진다. 發根量을 보면 4葉이 8葉보다 많은 것으로 나타났다. 捅木에 있어 葉量 열마가 發根에 가장 좋다는^{11,12,13,14)} 報告가 있으나 本實驗內의 環境條件에서는 4葉의 境遇 發根量이 많았다. 以上的結果로 葉量 열마가 捅穗發根에 가장 適合하다는 表現은 捅床의 水分과 相對濕度를 輕視했을 때의結果라고 생각되어지며 環境條件을 control했을 때의 그結果는 달라질 것으로豫想되어진다. 捅木後 10日째에 있어 아왜나무의 境遇 ψ_l 의 增加의 境遇 4葉은 2葉보다 -2 bars程度의 差로서 最高值에 到達하고 있으며, 最高值에 到達하는 時間은 2時間程度 並不다. 減少의 境遇에 있어서는 $-1\sim-2$ bars程度 急に 減少倾向을 보이고 있음과 Table 2.의 發根量을 參照하여 보면 本實驗內의 條件에서는 4葉이 2葉보다 生理的抵抗이 빨리 變化하고 있는 것으로 생각되어지며 全體的의 變化 pattern은 뿐만 아니라 完全한 植物^{1,2,3,17)} 類似하였다.

引 用 文 獻

1. Betty Klepper. 1968. Diurnal pattern of water potential in woody plant. *plant physiol.* 43:1931~1934.
2. Boyer, J.S. 1967. Leaf water potential measured with a pressure chamber. *plant physiol.* 42:133~137.
3. De Roo, H.C. 1969. Leaf water potential of sorghum and corn estimated with the pressure bomb. *Agron. J.* 61:969~970.
4. 德岡正三. 1974. 自動かん水 装置を用いた土壤水分の調節とヒノキさし穂の 吸水および發根の検討. *日林誌.* 56:102~104.
5. Edward B. Knippling. 1968. Measurement of Leaf water potential by the dye method. *Ecology.* Vol. 48(6):1038~1041.
6. 洪盛千, 須崎民雄. 1975. さし木の水時吸收に関する研究(I). *日林學會九州支部.* 28:102~104.
7. _____, 矢幡久. 1976. さし木の水分吸收に関する研究(II). *日林學會九州支部.* 29:205~207.
8. _____, 1976. さし木の水分吸收に関する研究(IV). 87回日本林學大會. 205~207.
9. 福櫻盛一, 横井肇. 1968. 土壤物理性測定法. 養賢堂. 191~196.
10. 岩田進午. 1968. 遠心法による ρF の測定法について. *土肥誌.* 39:177~178.
11. 町田英夫. 1974. さし木のすべて. 誠文堂新光社. 40~44.
12. 農耕と園藝別冊. 1973. 圖解植木のつくり方. 60~62.
13. _____, 1973. 圖解植木のふやし方. 197~213.
14. 大山浪雄, 森下義郎. 1971. さし木の理論と實際. 勝文社. 279~356.
15. Slatyer, R.O. and S.A. Taylor. 1960. Free-energy transfer in plants. *Nature.* 187:922.
16. 鈴木鐵男 etal. 1968. 葉の飽和水分不足度に 關する研究. *園學雜.* 37:37~44.
17. Waring, R.H. and B.D. Cleary. 1967. Plant moisture stress. *Science.* 155:1248~1254.
18. Wiebe, H.H. 1966. Matric potential of several plant tissues and biocolloids. *plant physio.* 41:1439~1442.